

Korozijske karakteristike sirovog i eloksiranog aluminija

KUI – 14/2013
Prispjelo 27. veljače 2012.
Prihvaćeno 19. ožujka 2013.

S. Islamović, F. Korać, J. Ostojić, M. Kezo,
S. Gutić, L. Koštroman i A. Halilović*

Prirodno-matematički fakultet Univerziteta u Sarajevu, Odsjek za hemiju,
Zmaja od Bosne 33–35, 71 000 Sarajevo, Bosna i Hercegovina

Koroziju postojanost aluminija i njegovih legura u mnogim medijima moguće je povećati različitim postupcima, među kojima se ističu metode anodizacije ili anodne oksidacije, koja se obično naziva eloksiranjem.

Korozivna postojanost aluminija nije apsolutna. Aluminij ima slabu otpornost na koroziju u okolišu sa slabom cirkulacijom kisika ili bez nje, obnavljanje pasivnog filma je onemogućeno, materijal više nije korozivno postojan i u tom slučaju odvijaju se korozivni procesi, što se očituje na različite načine.

Kao korozivni mediji uzeti su: otopina NaCl ($w = 3\%$), otopina HCl ($w = 3\%$), otopina H_2SO_4 ($w = 10\%$), otopina NaCl + NaOH ($pH = 10,09$), otopina NaOH ($pH = 10,17$), morska voda iz Ploča.

Eloksiranjem se postiže da su u svim korozivskim sredinama potencijali veći, što znači da se stvara zaštitni film oksida. Oksidni sloj najstabilniji je u otopini sumporne kiseline, a najmanju zaštitnu ulogu pokazuje u 3 %-tnoj otopini HCl, 3 %-tnoj otopini NaCl i morskoj vodi. Povećanjem debljine oksidnog sloja s 10 na 20 mikrometara ne postiže se poboljšanje zaštite od korozije izuzev u otopini NaOH. Eloksiranjem se smanjuju polarizacijski otpori prema sličnoj ovisnosti o korozivskoj sredini. Sličan i veći zaštitni učinak pokazuje eloksirani aluminij s debljinom sloja 20 mikrometara. Eloksiranjem se brzina korozije smanjuje za nekoliko desetaka puta, što potvrđuje da se eloksiranjem aluminij štiti od korozije. Vrijednosti su od 3,57 do 2699,00 mm a⁻¹.

Ključne riječi: *Aluminij, eloksiranje, korozivna sredina*

Uvod

Standardni potencijal aluminija iznosi $E^\circ = -1,66$ V, što ukazuje na njegovu nisku termodinamičku stabilnost. Već na zraku aluminij se prekriva pasivnim filmom Al_2O_3 čija debljina varira od 5 do 20 nm. U 3 %-tnoj otopini NaCl elektrodnji potencijal aluminija iznosi $-0,55$ V, pa u skladu s tim porastom potencijala u neutralnim otopinama elektrolita i u vodi aluminij može korodirati s kisikovom i vodikovom depolarizacijom. Kisik i oksidirajuće supstance je u mnogim otopinama i u atmosferi trenutačno razvijaju zaštitni film. Taj film obično je stabilan u otopinama pH između 4,5 i 8,5. Oksid je topljav u jako lužnatim i jako kiselim otopinama kao i u otopinama klorida, fluorida i sulfata, pri čemu je aluminij izložen intenzivnom napadu.^{1,2,3} Međutim u nekim jakim kiselinama, kao što je koncentrirana dušična kiselina, oksidni film i dalje pruža zaštitu i aluminij nije izložen napadu. Aluminij je otporan na glacijalnu octenu kiselinu i u nekim lužnatim otopinama aluminij u osnovi ne korodira.

U nekim slučajevima korozija se odvija malom brzinom, iako bi s kinetičkog gledišta brzina otapanja metala trebala biti znatno veća. Takvo stanje visoke otpornosti prema

koroziji naziva se pasivnošću. Izazvana je usporavanjem anodne reakcije ionizacije metala. Metal koji se nalazi u pasivnom stanju praktički ne korodira, bez obzira na to što mu je potencijal znatno pomaknut (na stotine mV) u pozitivnom smjeru.⁴

Aluminij ima slabu otpornost na koroziju u okolišu sa slabom cirkulacijom kisika ili bez nje, obnavljanje pasivnog filma je onemogućeno, materijal više nije korozivno postojan i u tom slučaju odvijaju se korozivni procesi, što se očituje na različite načine.^{1,2,5} Cilj je ovog rada ispitati korozijska svojstva uzoraka aluminija elektrokemijskim metodama u kiseloj, neutralnoj i lužnatoj otopini s kloridnim ionima, kao i u kiseloj i lužnatoj otopini bez njih. Također je bio cilj ispitati korozijska svojstva aluminija u ovisnosti o prethodnoj obradi (pasivizacija uzorka), kao i odrediti utjecaj kloridnih iona i ostalih korozijskih sredina na korozione karakteristike sirovog (nezaštićenog) aluminija i eloksiranog (zaštićenog) aluminija.

Eksperimentalni dio

Pripremanje uzoraka aluminija

Za mjerjenja su pripremljene aluminijске pločice dimenzija 2 mm × 2 mm, koje su nakon toga obrađivane na dva načina.⁶

* Autor za dopisivanje: mr. sc. Safija Islamović, viši asistent
e-pošta: islamovic.safija@gmail.com

U prvom slučaju aluminijuska pločica obrađena je brusnim papirom različite finoće (200 – 600), odmašćena u blago alkalnom odmašćivaču SurTec 117 ($\gamma = 50 \text{ g L}^{-1}$), alkalno nagrizana (jetkanje) u otopini NaOH ($\gamma = 60 \text{ g L}^{-1}$) i aditivu SurTec 402 A ($\gamma = 40 \text{ g L}^{-1}$), ispirana u običnoj vodi i neutralizirana u $1,5 \text{ mol L}^{-1}$ otopini H_2SO_4 uz dodatak aditiva SurTec 498 ($\gamma = 15 \text{ g L}^{-1}$).

U drugom je postupku aluminijuska pločica prošla isti tretman kao i u prvom, ali je drugi način obrade uključivao zaštitu aluminija oksidnim slojevima različite debeline (10 i 20 mikrometara), dok je u prvom postupku samo skidan primarni oksidni sloj te je aktivirana površina. Aluminijuska je pločica obrađena brusnim papirom različite finoće (200 – 600), odmašćena u blago lužnatom odmašćivaču SurTec 117, lužnato nagrizana (jetkanje) u otopini NaOH ($\gamma = 60 \text{ g L}^{-1}$) i aditivu SurTec 402 A ($\gamma = 35 \text{ g L}^{-1}$), ispirana u običnoj vodi i neutralizirana u $1,5 \text{ mol L}^{-1}$ otopini H_2SO_4 i aditivu SurTec 498 ($\gamma = 15 \text{ g L}^{-1}$). Metodom anodne oksidacije u $1,5 \text{ mol L}^{-1}$ H_2SO_4 , u trajanju od 20 do 40 min, uzorci aluminija zaštićeni su oksidnim slojem različite debeline (10 i 20 mikrometara), nakon čega su ispirani u običnoj pa potom u destiliranoj vodi i silirani u otopini SurTec 355 A ($\gamma = 30 \text{ g L}^{-1}$) i SurTec 355 B ($\gamma = 10 \text{ g L}^{-1}$).

Kao korozivni mediji uzeti su: otopina NaCl ($w = 3 \%$), otopina HCl ($w = 3 \%$), otopina H_2SO_4 ($w = 10 \%$), otopina NaCl + NaOH (pH = 10,09), otopina NaOH (pH = 10,17) morska voda iz Ploča.⁷

Za ispitivanja metodom linearne polarizacije te potenciodinamičkom metodom upotrijebljen je potenciostat/galvanostat PAR 263A povezan s računalom uz odgovarajući softver. Mjerenje je vršeno u standardnom elektrokemijskom članku opremljenom trima elektrodama (radna – uzorak, Ag/AgCl zas. KCl – referentna i Pt kao pomoćna elektroda).

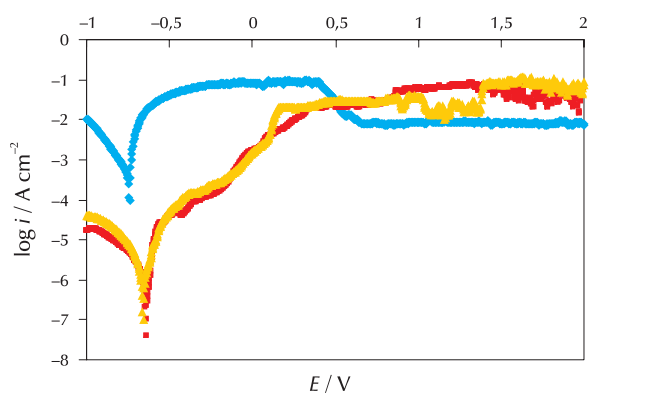
Radna elektroda je aluminijuska pločica, koja je najprije obrađivana brusnim papirom različite finoće (od 200 do 600), a zatim je tretirana prethodno opisanim postupcima. Zatim je elektroda omotana teflonskom trakom da bi se dobila manja radna površina, koja je precizno izmjerena.

Tako pripremljen uzorak, zajedno s referentnom i pomoćnom elektrodom uronjen je u elektrokemijski članak u koji je prethodno uliveno 50 ml koroziskog medija. Mjerenje metodom linearne polarizacije započinje nakon što su se uspostavile stabilne vrijednosti potencijala otvorenog strujnog kruga na potencijalu koji je 250 mV negativniji od E_{corr} , a završava kada je postignuta vrijednost potencijala 250 mV pozitivnija od E_{corr} , koji je prethodno određen snimanjem potenciodinamičkom metodom u širem rasponu potencijala pri brzini skeniranja od 1 mV s^{-1} . Tafelovi dijagrami snimljeni su $\pm 250 \text{ mV}$ u odnosu na spomenuti potencijal.

Rezultati i rasprava

Tafelovi dijagrami uzoraka aluminija u otopini HCl, w = 3 %

Na slici 1 prikazan je Tafelov dijagram za aluminij koji je obrađen na tri različita načina. Aluminij koji je samo aktiviran bez zaštite pokazuje korozivski potencijal pri $-0,74 \text{ V}$,



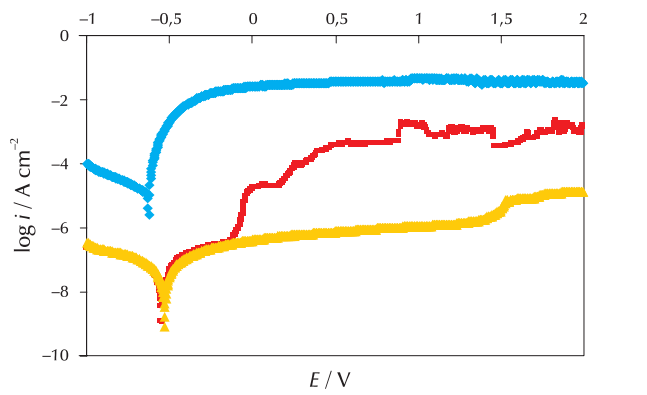
Slika 1 – Tafelovi dijagrami uzoraka aluminija u otopini HCl, w = 3 %

Fig. 1 – Tafel diagrams of aluminium samples in HCl solution, w = 3 %

što znači da je korozivski potencijal pomaknut u katodno područje u odnosu na aluminij koji je eloksiran i kojemu su potencijali $-0,64 \text{ V}$ i $-0,66 \text{ V}$. Iz navedenog se vidi da je eloksirani aluminij termodinamički stabilniji, a samim tim i postojaniji u korozivnom mediju u odnosu na aluminij koji nije bio zaštićen. Na prikazanom dijagramu uočljivo je izraženo aktivno područje nezaštićenog aluminija, i to od koroziskog potencijala do $0,3 \text{ V}$, gdje počinje pasivizacija aluminija u danom korozivnom mediju. Na eloksiranom aluminiju vidljivo je da je prisutan pasivni sloj, s obzirom na to da su vrijednosti struje u gotovo svim područjima potencijala veće, osim u onim vrlo pozitivnim područjima potencijala gdje su znatno manje.

Tafelovi dijagrami uzoraka aluminija u otopini NaCl, w = 3 %

Tafelovi dijagrami uzoraka aluminija u 3 %-tnej otopini NaCl na slici 2 pokazuju znatnu razliku između zaštićenog i nezaštićenog aluminija. Korozivski potencijal nezaštićenog aluminija pomaknut je u katodno područje i pokazuje vrijednost $-0,63 \text{ V}$ u odnosu na korozivski potencijal



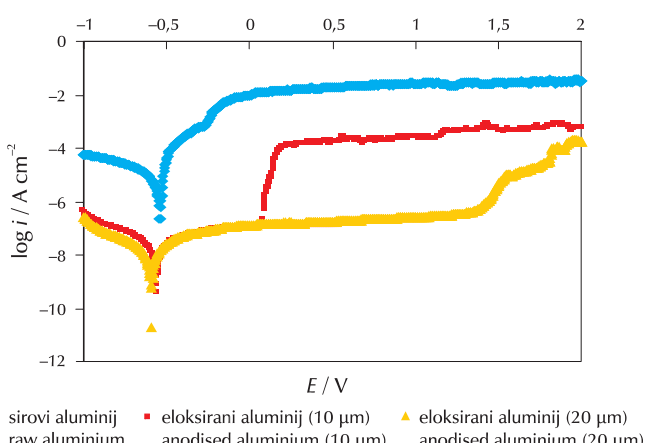
Slika 2 – Tafelovi dijagrami uzoraka aluminija u otopini NaCl, w = 3 %

Fig. 2 – Tafel diagrams of aluminium samples in NaCl solution, w = 3 %

zaštićenog aluminija različite debljine oksidne prevlake (10 i 20 mikrometara). Pri visokoj anodnoj polarizaciji sirovog aluminija dolazi do ravnomjernog porasta struje, što je indikacija aktivacijske polarizacije, odnosno uniformne korozije. Na oba eloksirana uzorka indikativno je postojanje pasivnog sloja. Međutim na aluminiju koji je eloksiran kraće vrijeme pri pozitivnijim potencijalima dolazi do naglih porasta vrijednosti struje, što je vrlo vjerojatno posljedica razaranja pasivnog sloja. Deblji eloksirani sloj pokazuje znatno bolja zaštitna svojstva.

Tafelovi dijagrami uzoraka aluminija u morskoj vodi

Iz prikazanih dijagrama na slici 3 vidi se da za sva tri uzorka aluminija koroziski potencijal ima vrijednost oko $-0,53$ V. Međutim kod sirovog aluminija je izraženo aktivno područje bez stvaranja pasivnog sloja, uz velike koroziski struje. Na dijagramu se može primijetiti da se na aluminiju čija je debljina oksidne prevlake oko 10 mikrometara formira pasivni sloj koji je stabilan do vrijednosti potencijala 0,1 V, nakon čega dolazi do naglog porasta struje, što je najvjerojatnije posljedica razaranja pasivnog sloja. Dulje eloksirani uzorak pokazuje niže vrijednosti koroziskih struja i stabilan pasivni sloj do vrijednosti potencijala 1,4 V.

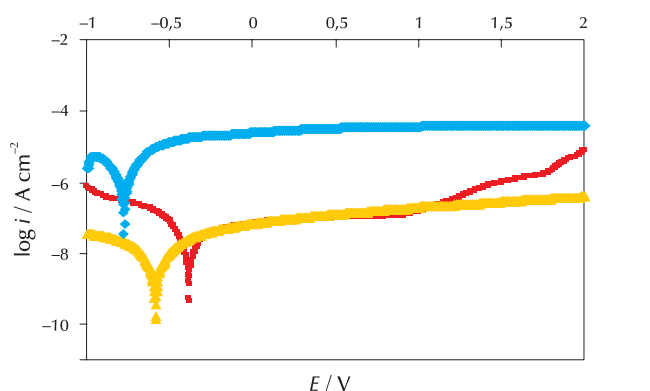


Slika 3 – Tafelovi dijagrami uzoraka aluminija u morskoj vodi

Fig. 3 – Tafel diagrams of aluminium samples in seawater

Tafelovi dijagrami uzoraka aluminija u otopini NaOH (pH = 10,17)

Na slici 4 prikazan je Tafelov dijagram uzoraka u otopini NaOH (pH = 10,17) na kojem se mogu uočiti značajne razlike u ponašanju sirovog i eloksiranog aluminija. Prije svega koroziski potencijal sirovog aluminija ima znatno negativniju vrijednost, $-0,75$ V, u odnosu na koroziski potencijal eloksiranog aluminija. Na oba uzorka eloksiranog aluminija dolazi do stvaranja pasivnog sloja koji je veoma stabilan. Promatrajući struju korozije, uočljivo je da su vrijednosti znatno niže za uzorce koji su bili eloksirani u odnosu na uzorak koji nije prošao tretman zaštite. Kod aluminija koji je kraće vremena bio izložen tretmanu zaštite pasivni sloj je stabilan do vrijednosti potencijala 1,0 V, da bi potom došlo do postepene degradacije sloja. Kod aluminija koji ima veću debljinu oksidnog sloja, na površini nastali pasivni sloj stabilan je tijekom mjerjenja.

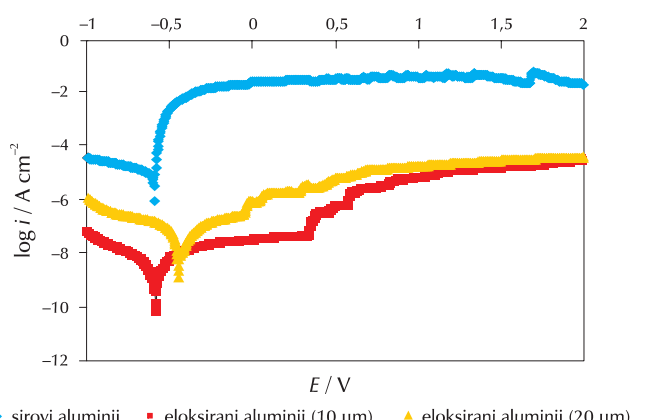


Slika 4 – Tafelovi dijagrami uzoraka aluminija u otopini NaOH (pH = 10,17)

Fig. 4 – Tafel diagrams of aluminium samples in NaOH solution (pH = 10.17)

Tafelovi dijagrami uzoraka aluminija u otopini NaOH + NaCl (pH = 10,09)

Na slici 5 prikazana je razlika u ponašanju sirovog i zaštićenog aluminija u otopini NaOH + NaCl (pH = 10,09). Iz prikazanog se može zaključiti da aluminij koji se dulje eloksira i time dobiva veću debljinu oksidnog sloja pokazuje bolju otpornost u korozivnim medijima kojima je izložen. To je posebno izraženo u anodnom području, gdje je struja na nezaštićenom aluminiju znatno veća od struja na eloksiranim uzorcima. Kod uzorka čija debljina oksidnog sloja iznosi oko 10 mikrometara uočava se održavanje pasivnog sloja do vrijednosti potencijala $-0,1$ V, nakon čega dolazi do razaranja pasivnog sloja i naglog porasta struje. Kod uzorka koji je dulje eloksiran pasivni sloj stabilan je do $E = 0,4$ V, gdje dolazi do naglog rasta struje. Na uzorku eloksiranom dulje propadanje pasivnog sloja događa se kasnije, što znači da je taj aluminij koroziski otporniji.



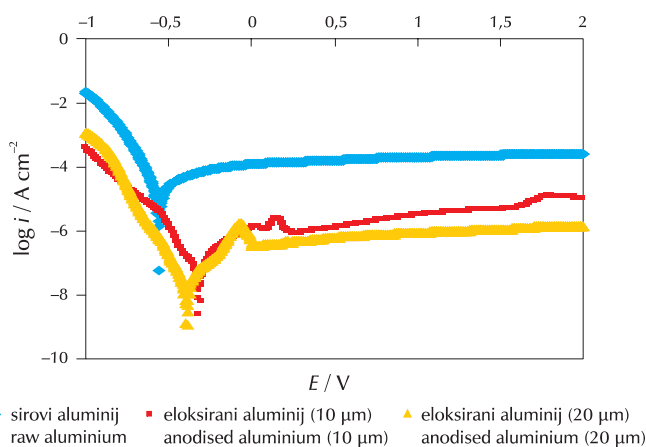
Slika 5 – Tafelovi dijagrami uzoraka aluminija u otopini NaOH + NaCl (pH = 10,09)

Fig. 5 – Tafel diagrams of aluminium samples in NaOH + NaCl solution (pH = 10.09)

Tafelovi dijagrami uzoraka aluminija u otopini H_2SO_4 , $w = 10\%$

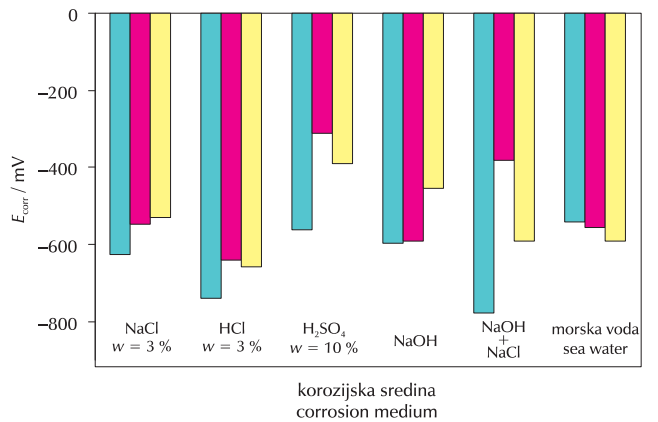
Na slici 6 može se primijetiti da sirovi aluminij koji nije presvučen zaštitnim slojem pokazuje korozijski potencijal $-0,56$ V, što znači da je korozijski potencijal pomaknut u katodno područje u odnosu na aluminij koji je zaštićen metodom anodne oksidacije i čije vrijednosti korozijskog potencijala iznose $-0,3$ V i $-0,4$ V. U sva tri prikazana slučaja na aluminiju se stvara pasivni sloj koji je stabilan. Nastanak pasivnog sloja objašnjava se time što se i sam proces eloksiranja vrši u sumpornoj kiselini pa i ona sama pogoduje nastanku oksidnog filma na površini metala. Ipak, uočava se da aluminij kod veće debljinu oksidne prevlake (20 mikrometara) pokazuje manje struje korozije a također i korozijske potencijale pomaknute prema pozitivnijim vrijednostima. Iz navedenog slijedi da o debljini oksidne prevlake i duljini eloksiranja ovisi otpornost aluminija prema koroziji zbog vanjskih utjecaja i da aluminij koji je dulje eloksiran pokazuje bolje korozijske karakteristike.

Na slici 7 prikazani su korozijski potencijali svih uzoraka u ispitivanim sredinama. Najmanji potencijal sirovi aluminij ima u otopini $NaOH + NaCl$, zatim u 3 %-tnoj otopini



Slikica 6 – Tafelovi dijagrami uzoraka aluminija u otopini H_2SO_4 , $w = 10\%$

Fig. 6 – Tafel diagrams of aluminium samples in H_2SO_4 solution, $w = 10\%$



Slikica 7 – Korozijski potencijali sirovog i eloksiranog aluminija

Fig. 7 – Corrosion potentials of raw and anodised aluminium

HCl , nešto veću vrijednost ima u 3 %-tnoj otopini $NaCl$, a najstabilniji je u 10 %-tnoj otopini H_2SO_4 , gdje se može pretpostaviti da je došlo do pasivizacije zbog stvaranja oksidnog sloja. Eloksiranjem se postiže pomak korozijskog potencijala u pozitivnom smjeru u svim korozijskim sredinama, što znači da se stvara zaštitni film oksida. Taj oksidni sloj najstabilniji je u otopini sumporne kiseline, a najslabiju zaštitnu ulogu pokazuje u 3 %-tnoj otopini HCl , 3 %-tnoj otopini $NaCl$ i morskoj vodi.

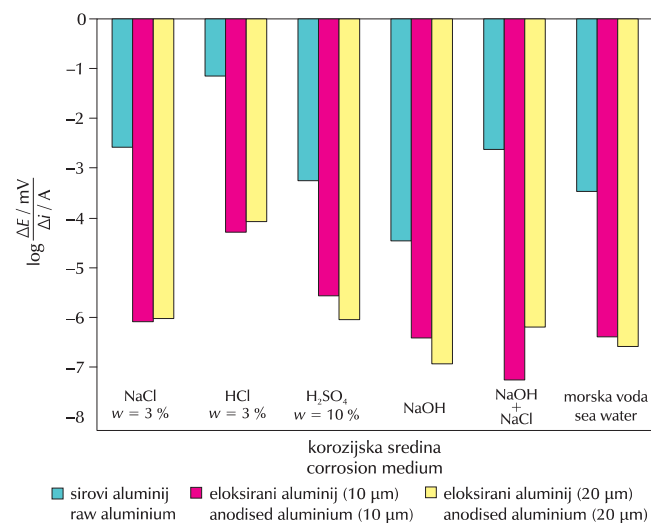
Polarizacijski otpor

Polarizacijski otpor izračunava se iz nagiba pravca prema jednadžbi:⁸

$$\frac{\Delta E}{\Delta i} = \frac{\beta_A \beta_K}{2,3 i_{corr} (\beta_A + \beta_K)} \quad (1)$$

Elektrokemijska tehnika polarizacijskog otpora primjenjuje se kao indikator brzine korozije. Veći otpor ukazuje na manju brzinu korozije.

Zbog relativno velikog polarizacijskog otpora uzorka u 3 %-tnoj otopini HCl uspoređeni su logaritmi vrijednosti polarizacijskih otpora uzoraka u različitim otopinama. Najveći otpor aluminij pokazuje u 3 %-tnoj otopini HCl (nekoliko stotina puta veća vrijednost). Iz dijagrama 8 može se vidjeti da su veći polarizacijski otpori sirovog aluminija nego eloksiranog. Najveću vrijednost pokazuje 3 %-tna otopina HCl , zatim otopina $NaCl$, dok su najmanji otpori u otopini $NaOH$ i $NaCl$. Eloksiranjem se smanjuju polarizacijski otpori prema sličnoj ovisnosti o korozijskoj sredini. Sličan i veći zaštitni učinak pokazuje eloksirani aluminij s debljinom sloja 20 mikrometara.



Slikica 8 – Logaritmi polarizacijskih otpora različitih uzoraka aluminijuma

Fig. 8 – Logarithms of the polarisation resistances of different aluminium samples

Korozijska struja

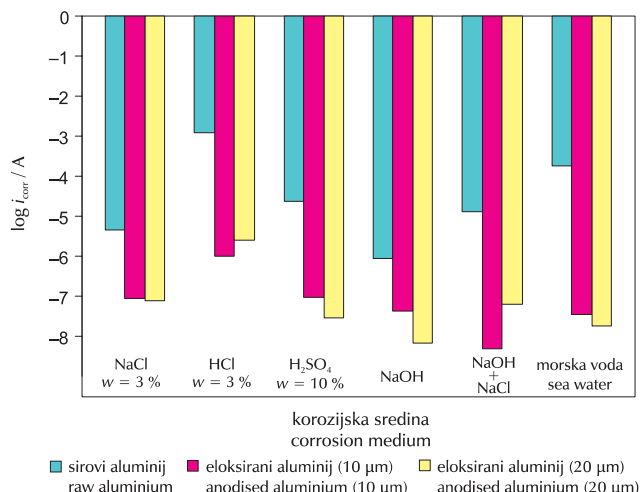
Korozijska struja korozije računa se po ovoj formuli:⁸

$$i_{corr} = \frac{\beta_A \beta_K}{2,3(\beta_A + \beta_K)} \frac{\Delta i}{\Delta E} \quad (2)$$

T a b l i c a 1 – Tafelovi koeficijenti β_A i β_K određeni za sirovi i eloksirani aluminijumT a b l e 1 – Determined β_A and β_K Tafel coefficients for raw aluminium and anodised aluminium

Korozionska sredina Corrosive media	Sirovi aluminij	Eloksirani aluminij, debljina 10 μm	Eloksirani aluminij, debljina 20 μm			
	Raw aluminium	Anodised aluminijum, thickness 10 μm	Anodised aluminijum, thickness 20 μm			
	β_A / V	β_K / V	β_A / V	β_K / V	β_A / V	β_K / V
NaCl, w = 3 %	0,03	0,44	0,62	0,45	0,34	0,39
HCl, w = 3 %	0,05	0,19	0,05	0,32	0,11	0,19
H_2SO_4 , w = 10 %	0,58	0,11	0,26	0,12	0,17	0,12
NaOH	0,13	0,12	0,87	0,38	0,25	0,32
NaOH + NaCl	0,02	0,82	0,56	0,31	0,43	0,45
Morska voda	0,15	0,64	0,54	0,31	0,37	0,29
Seawater						

Također, zbog relativno velikih korozijskih struja u 3 %-tnoj otopini HCl i donekle u morskoj vodi prikazana je logaritamska zavisnost struja korozije.



S l i k a 9 – Logaritmi korozijске struje sirovog i eloksiranog aluminija

F i g. 9 – Logarithms of the corrosion current of raw and anodised aluminium

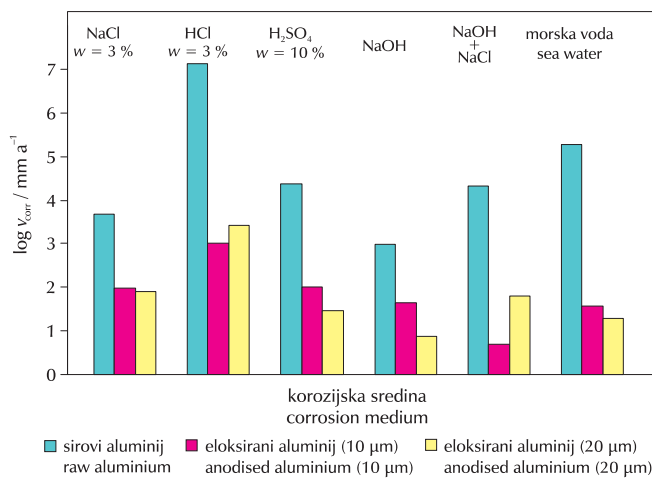
Budući da struje korozije izravno ovise o polarizacijskim otporima, slična je ovisnost kod svih uzoraka i korozivnih sredina. Ponovno je izrazito jaka korozijска struja za sirovi aluminij u 3 %-tnoj otopini HCl, ali je uočljivo i postojanje značajne struje korozije istog uzorka u morskoj vodi.

Brzina korozije

Brzina korozije aluminija računa se prema sljedećoj formuli:⁸

$$v_{corr} = i_{corr} \frac{M(\text{Al})}{zF} \quad (3)$$

Zbog velike brzine korozije u 3 %-tnoj otopini HCl ne može se na dijagramu uočiti prava vrijednost brzine korozije ostalih uzoraka, pa se uzima logaritam brzine korozije.



S l i k a 10 – Logaritmi brzine korozije različitih uzoraka aluminija

F i g. 10 – Logarithms of the corrosion rate of different aluminium samples

U izrazu za izračunavanje brzine korozije svi su prije spomenuti parametri tako da ovisnost brzine korozije o uzorku i korozijskoj sredini pokazuje sinergijski utjecaj svih faktora na korozivnu stabilnost sirovog i eloksiranog aluminija.

Na slici 10 vidi se da je brzina korozije sirovog aluminija veća nego kod eloksiranog. Sirovi aluminij najbrže korodira u 3 %-tnoj otopini HCl, zatim u otopini NaCl i morskoj vodi, a najmanju brzinu pokazuje u otopini NaOH. Eloksiranjem se brzina korozije smanjuje nekoliko desetaka puta što potvrđuje da se eloksiranjem aluminij štiti od korozije. S povećanjem debljine sloja u nekim se sredinama smanjuje brzina korozije, dok se kod drugih ostvaruje protutučinak.

Zaključak

Metodom anodne oksidacije zaštićeni su uzorci aluminija različitom debljinom oksidnog sloja (10 i 20 mikrometara) u trajanju od 20 do 40 min.

Na osnovi mjerjenja ovih uzoraka u različitim korozivnim sredinama možemo zaključiti:

- Najniži potencijal sirov aluminij ima u otopini NaOH + NaCl, zatim u 3 %-tnoj otopini HCl, a najstabilniji je u 10 %-tnoj otopini H_2SO_4 gdje se može pretpostaviti da je došlo do pasivizacije zbog stvaranja oksidnog sloja. Vrijednosti se kreću od -741 do -311 mV.

- Eloksiranjem se postiže da su u svim korozivnim sredinama potencijali veći što znači da se stvara zaštitni film oksida. Taj oksidni sloj najstabilniji je u otopini sumporne kiseline, a najmanju zaštitnu ulogu pokazuje u 3 %-tnoj otopini HCl, 3 %-tnoj otopini NaCl i morskoj vodi.

- Povećanjem debljine eloksiranja s 10 na 20 mikrometara ne postiže se očekivano poboljšanje zaštite od korozije osim u otopini NaOH.

- Polarizacijski otpori veći su kod sirovog aluminija nego kod eloksiranog. Najveću vrijednost pokazuje 3 %-tna otopina HCl ($5,193 \cdot 10^{-5} \text{ VA}^{-1}$), zatim otopina NaCl, dok su najmanji otpori u otopini H_2SO_4 .

- Eloksiranjem se smanjuju polarizacijski otpori prema sličnoj ovisnosti o korozijskoj sredini. Sličan i veći zaštitni

učinak pokazuje eloksirani aluminij s debljinom sloja od 20 mikrometara.

– Budući da struje korozije izravno ovise polarizacijskim otporima, slična je ovisnost kod svih uzoraka i korozijskih sredina.

– Izrazito je velika vrijednost korozijske struje za sirovi aluminij u 3 %-tnej otopini HCl ($1,24 \cdot 10^{-3} \text{ A cm}^{-2}$), ali je uočljivo i postojanje značajne korozijske struje istog uzorka u morskoj vodi ($1,77 \cdot 10^{-4}$). Ostale vrijednosti su reda veličine $10^{-5} \text{ A cm}^{-2}$ i niže.

– Brzina korozije sirovog aluminija veća je nego eloksiranog.

– Sirovi aluminij najbrže korodira u 3 %-tnej otopini HCl (13 025 224,5 mm a^{-1}), zatim u otopini NaCl i morskoj vodi, a najmanju brzinu pokazuje u otopini NaOH (945,4 mm a^{-1}).

– Eloksiranjem se brzina korozije smanjuje nekoliko desetaka puta, što potvrđuje da se eloksiranjem aluminij štiti od korozije. Vrijednosti su od 3,57 do 2699,00 mm a^{-1} .

– S povećanjem debljine sloja u nekim sredinama se smanjuje brzina korozije, dok se kod drugih ostvaruje protučink.

U izrazu za izračunavanje brzine korozije nalaze se svi gore navedeni parametri tako da ovisnost brzine korozije o uzorku i korozijskoj sredini pokazuje sinergijski utjecaj svih faktora na korozivnu stabilnost sirovog i eloksiranog aluminija.

Popis simbola i kratica

List of symbols and abbreviations

E	– potencijal, V – potential, V
E°	– standardni elektrodni potencijal, V – standard electrode potential, V
E_{corr}	– korozijijski potencijal, mV – corrosion potential, mV

$\Delta E/\Delta i$	– polarizacijski otpor, mV A^{-1} – polarization resistance, mV A^{-1}
i	– gustoća struje, A cm^{-2} – corrosion density, A cm^{-2}
i_{corr}	– gustoća korozijske struje, A cm^{-2} – corrosion current density, A cm^{-2}
v_{corr}	– brzina korozije, mm a^{-1} – corrosion rate, mm a^{-1}
w	– maseni udjel, % – mass fraction, %
β_A	– anodni Tafelov nagib, mV – anodic Tafel plot, mV
β_K	– katodni Tafelov nagib, mV – cathodic Tafel plot, mV

Literatura

References:

1. R. C. Spooner, Anodizacija aluminijuma i njegovih legura pomoću sumporne kiseline, interna skripta, Zagreb, 2000.
2. AnodizingEquipment.com: How to Anodize Aluminum. URL: anodizingequipment.com/anodizing-tips-and-tricks/how-to-anodize-aluminum (2. 2. 2012.).
3. H. Jasarevic, Neorganske nemetalne prevlake, seminarski rad. URL: www.scribd.com/doc/16837070/NEORGANSKE-NEMETALNE-PREVLAKE (2. 2. 2012.).
4. H. Belov, Primjena inhibitora korozije kod tehnologije obrade odvajanjem čestica, diplomska rad, Sveučilište u Zagrebu, Fakultet strojarstva i brodogradnje, Zagreb, 2009.
5. N. Radošević, Priručnik za hemičare i tehnoologe, II. izd., Tehnička knjiga, Beograd, 1968.
6. URL: http://www.surtec.com/Kataloge/Aluminium_eng.html, page=1 (2. 2. 2012.).
7. I. Esih, Osnove površinske zaštite, Fakultet strojarstva i brodogradnje, Zagreb, 2003.
8. M. Stern, A. L. Geary, Electrochemical Polarization: I. A Theoretical Analysis of the Shape of Polarization Curves, *J. Electrochem. Soc.* **104** (1957) 56–63.

SUMMARY

Corrosion Characteristics of Raw and Anodised Aluminium

S. Islamović,^{*} F. Korać, J. Ostožić, M. Kezo, S. Gutić, L. Koštroman, and A. Halilović

Corrosion resistance of aluminium and its alloys in different media can be improved by many procedures. One of the most used methods is anodisation or anodic oxidation, which is commonly known as anodising. Solutions of: NaCl, $w = 3\%$, HCl, $w = 3\%$, H_2SO_4 , $w = 10\%$, NaCl + NaOH (pH = 10.09), NaOH (pH = 10.17), and seawater taken from Ploče were used as corrosive media. Anodisation enables higher potentials in all corrosive environments, indicating that a protective oxide film has been formed. This oxide layer is the most stable in a solution of sulphuric acid, and has the lowest protective role in 3 % HCl solution, 3 % NaCl solution and seawater. By increasing the thickness of anodising from 10 to 20 micrometres, no improvement of the corrosion protection was achieved, except in the NaOH solution. Anodising also reduces the polarization resistance by a similar dependence of the corrosive environment. An even greater and similar protective effect is exhibited by anodised aluminium with a thickness of 20 micrometres. Anodising decreases the corrosion rate by several orders of magnitude, which confirms that aluminium anodising protects against corrosion. Values are from 3.57 to 2699.00 mm a^{-1} .

University of Sarajevo, Faculty of Science,
Department of Chemistry, Zmaja od Bosne 33–35,
71 000 Sarajevo, Bosnia and Herzegovina

Received February 27, 2012
Accepted March 19, 2013